九重山の火山活動解説資料(平成30年7月)

福岡管区気象台 地域火山監視・警報センター

火山性地震は少ない状態で経過しましたが、2017 年 6 月頃から B 型地震¹⁾が時折発生しています。また、2014 年以降、星生山北東側山腹の噴気孔群地下の温度上昇を示唆する全磁力²⁾の変化がみられています。これらのことから、わずかに火山活動が高まっている可能性があります。今後の火山活動に留意してください。

噴火予報(噴火警戒レベル1、活火山であることに留意)の予報事項に変更はありません。

活動概況

・噴煙など表面現象の状況(図1、図2、図3- 、図5、図6)

硫黄山付近では、白色の噴煙が最高で噴気孔上300m(6月:300m)まで上がりました。

星生山北尾根に設置している赤外熱映像装置³)による観測では、熱異常域において温度の高い 状態が続いています。

26 日に実施した現地調査では、噴気地帯 A 領域、 B 領域、 C 領域の噴気および熱異常域の分布に特段の変化は認められませんでした。

・地震や微動の発生状況(図3- 、図4)

火山性地震の月回数は7回(6月:8回)と少ない状態で経過しました。A型地震⁴⁾は6回、B型地震は1回(6月:A型地震8回、B型地震なし)でした。震源が求まった火山性地震は6回で、星生山および硫黄山付近の深さ約0~2km及び4kmに分布しました。

火山性微動は2006年10月以降、観測されていません。

・全磁力変化の状況(図7~9)

全磁力観測では、2014年以降、星生山北東側山腹の噴気孔群地下で温度上昇を示唆する変化がみられています。

・地殻変動の状況(図10、図11)

GNSS⁵⁾連続観測では、坊ガツル・牧ノ戸峠、星生山北山腹・坊ガツル、星生山北山腹・直入 Aの基線で、2012 年頃から伸びの傾向、星生山北山腹・上野の基線で縮みの傾向が認められていましたが、2015 年頃から停滞しています。

この火山活動解説資料は福岡管区気象台ホームページ(https://www.jma-net.go.jp/fukuoka/)や気象庁ホームページ(https://www.data.jma.go.jp/svd/vois/data/tokyo/STOCK/monthly_v-act_doc/monthly_vact.php)でも閲覧することができます。次回の火山活動解説資料(平成30年8月分)は平成30年9月10日に発表する予定です。

この資料は気象庁のほか、国土地理院、国立研究開発法人防災科学技術研究所及び大分県のデータも 利用して作成しています。

資料中の地図の作成に当たっては、国土地理院長の承認を得て、同院発行の『数値地図 50mメッシュ (標高)』を使用しています(承認番号:平 29 情使、第 798 号)。

- 1)火山性地震のうち、P波、S波の相が不明瞭で、比較的周期が長く、火口周辺の比較的浅い場所で発生する地震と考えられています。火道内の火山ガスの移動やマグマの発泡など火山性流体の動きで発生すると考えられています。B型地震の増加は、山体浅部の火山活動の活発化を意味していることから発生状況には注意が必要です。
- 2)火山体の南側で全磁力を観測した場合、全磁力値が減少すると火山体内部で温度上昇が、全磁力値が増加すると火山体内部で温度低下が生じていると推定されます。
- 3) 赤外熱映像装置は物体が放射する赤外線を感知して温度分布を測定する測器です。熱源から離れた場所から測定する ことができる利点がありますが、測定距離や大気等の影響で実際の熱源の温度よりも低く測定される場合があります。
- 4)火山性地震のうち、P波、S波の相が明瞭で比較的周期の短い地震で一般的に起こる地震と同様、地殻の破壊によって発生していると考えられ、マグマの貫入に伴う火道周辺の岩石破壊によって発生していることが知られています。
- 5) GNSS (Global Navigation Satellite Systems)とは、GPSをはじめとする衛星測位システム全般を示す呼称です。



図 1 九重山 噴煙の状況 (7月23日、上野監視カメラによる)



図 2-1 九重山 地熱域の状況 (7月 27 日、星生山北尾根赤外熱映像装置による)

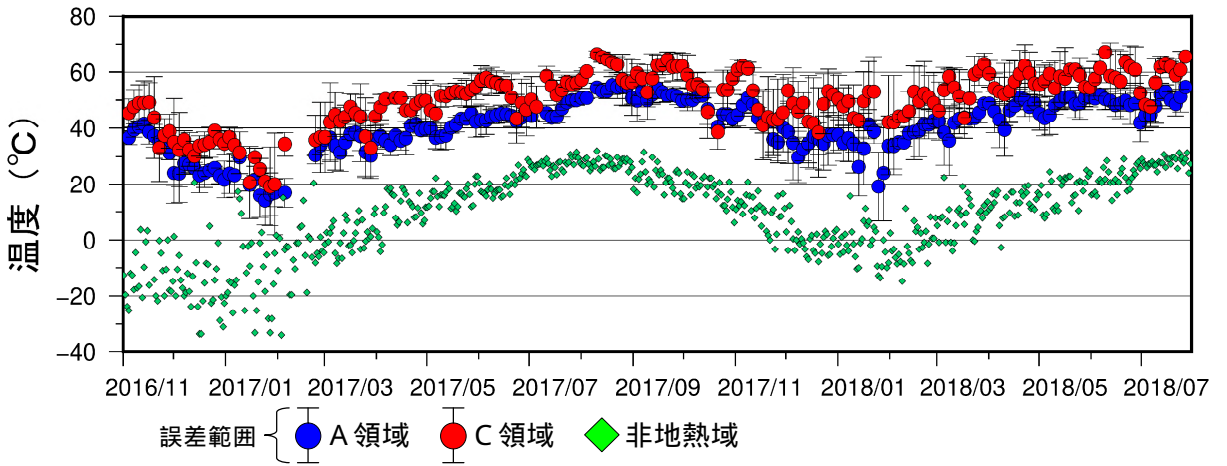


図 2-2 九重山 星生山北尾根赤外熱映像装置による日別最高温度の7日間移動平均値 (2016年11月~2018年7月) A 領域、C 領域ともに地熱のない領域と比べて温度の高い状態が続いています。 天候不良時は観測精度が低下します。特に観測精度が低いデータは、図から取り除いています。

- 2 -

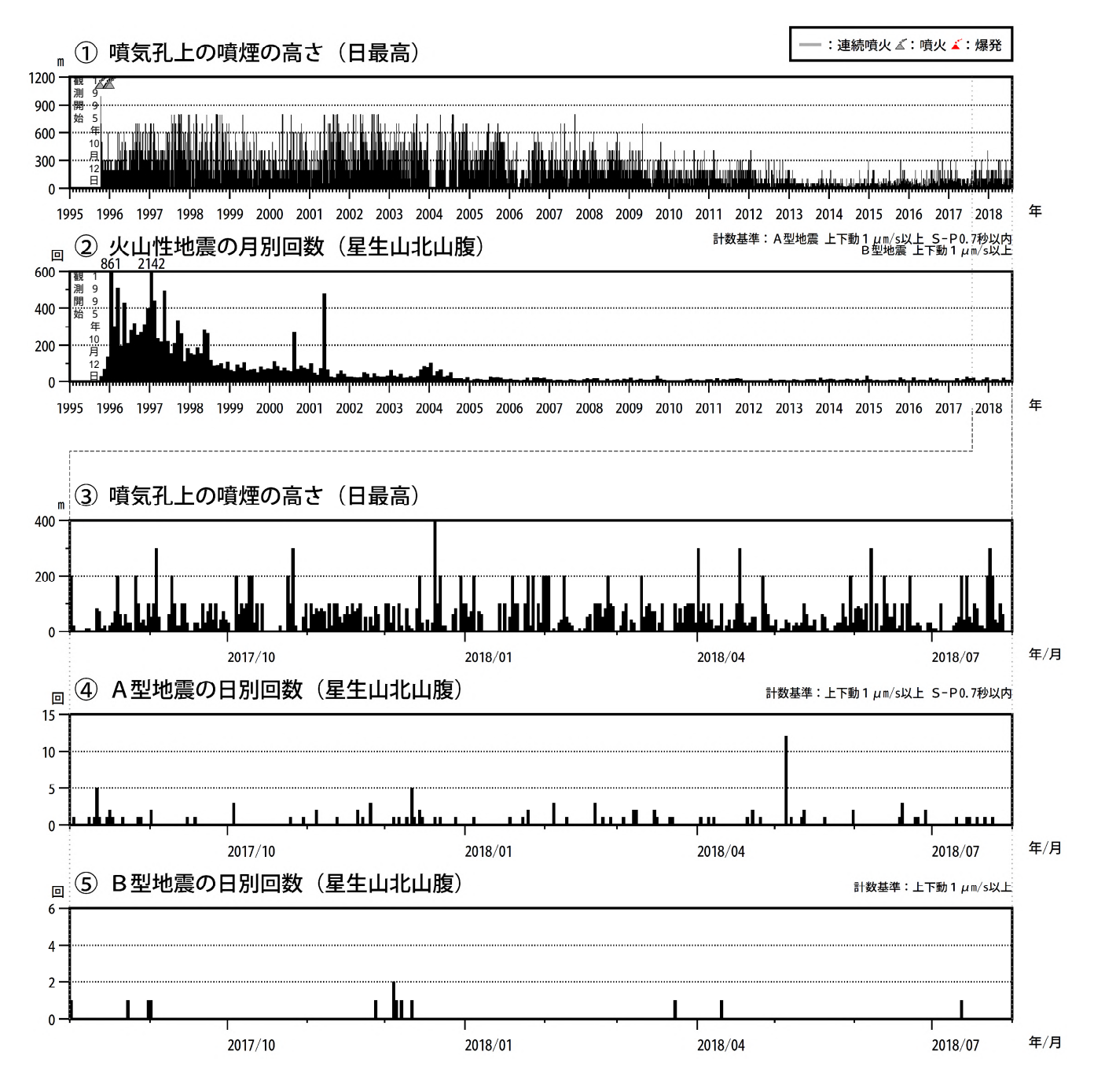


図3 九重山 火山活動経過図(1995年10月~2018年7月)

< 7月の状況 >

- ・硫黄山付近では、噴煙が最高で噴気孔上300m(6月:300m)まで上がりました。
- ・火山性地震の月回数は7回(6月:8回)と少ない状態で経過しました。
- ・A型地震は6回、B型地震は1回(6月:A型地震8回、B型地震なし)でした。

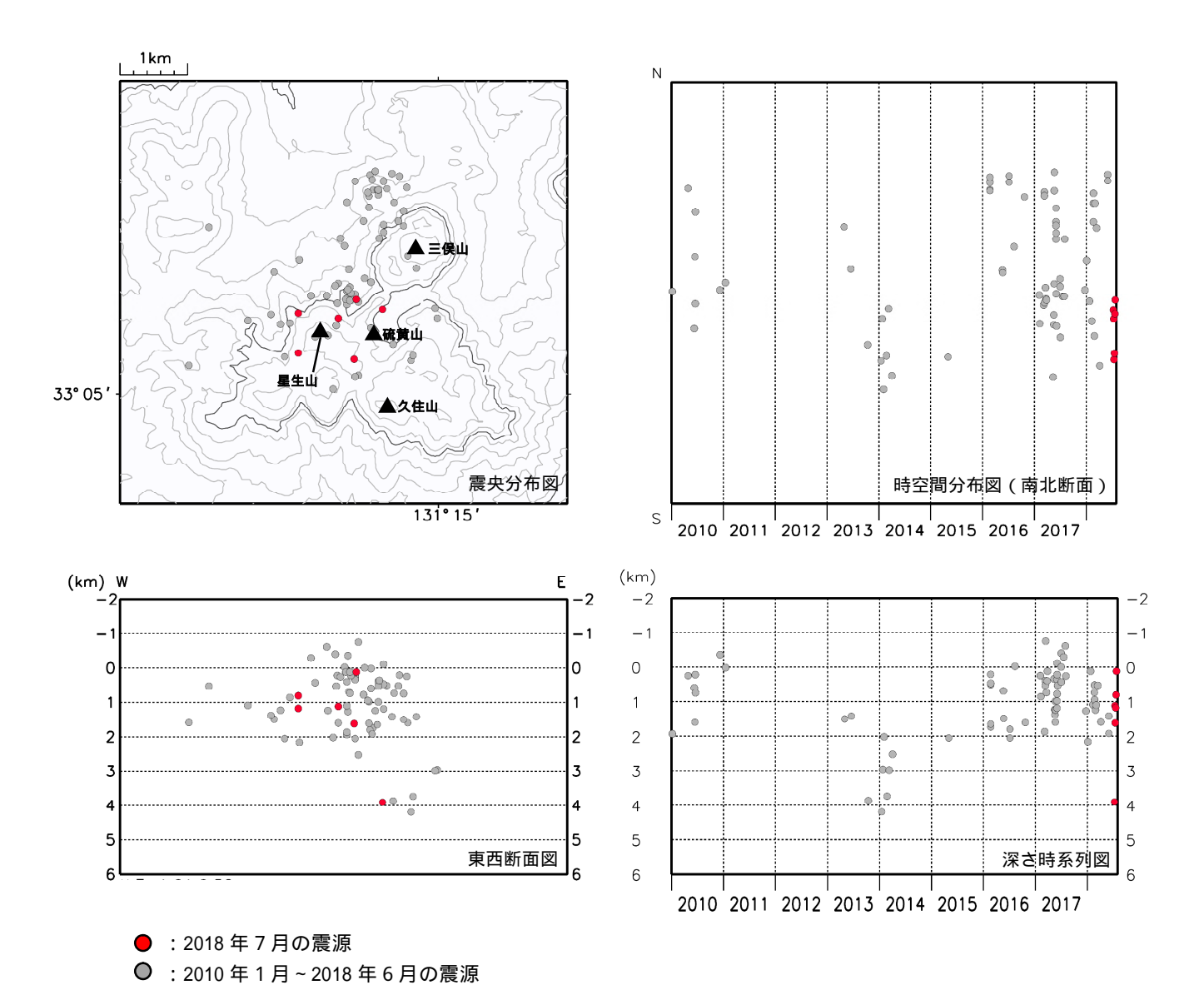


図 4-1 九重山 震源分布図(硫黄山付近の地震)(2010年1月~2018年7月)

< 7月の状況 >

震源が求まった火山性地震は6回で、星生山および硫黄山付近の深さ約0~2km及び4kmに分布しました。

- 4 -

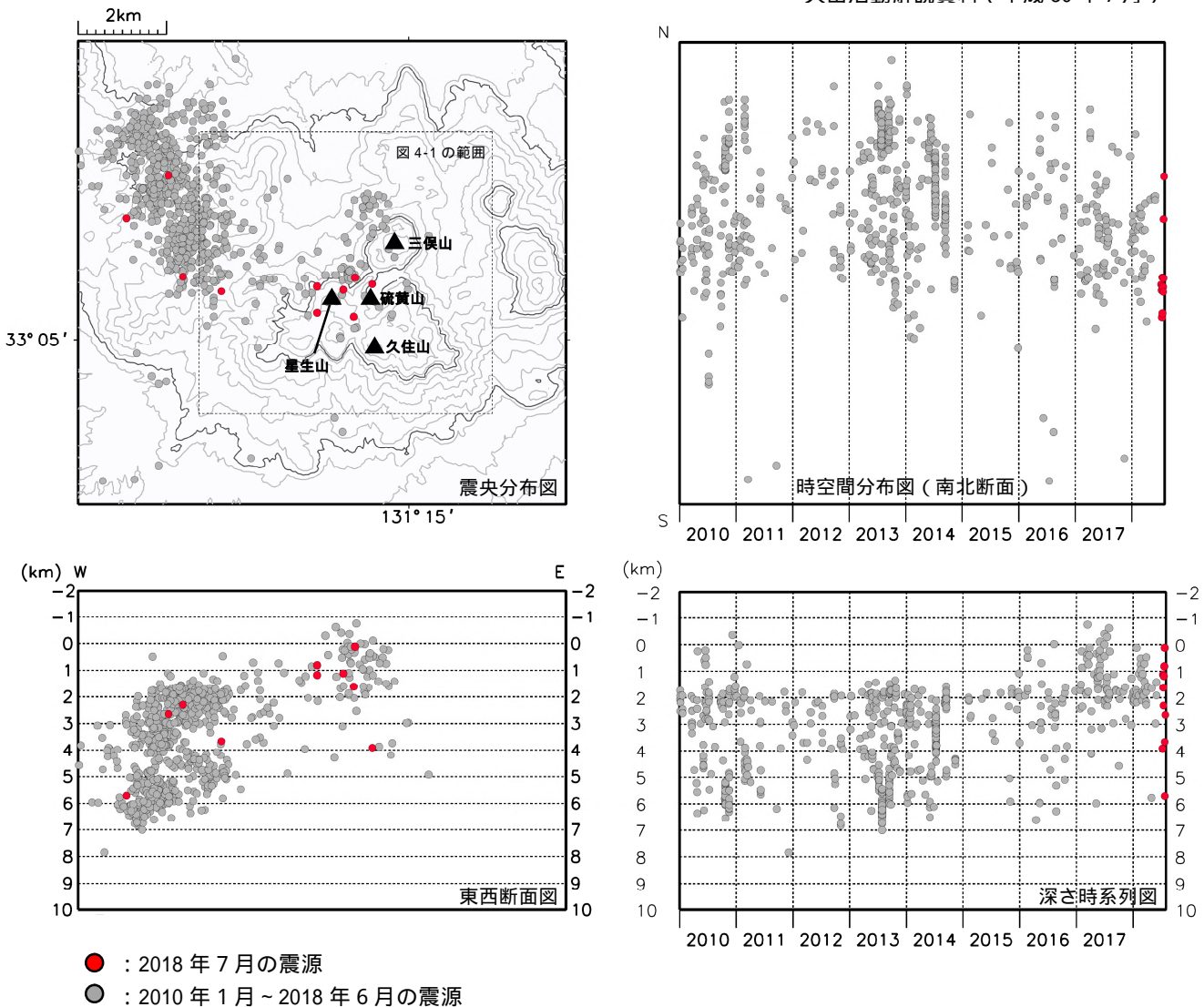
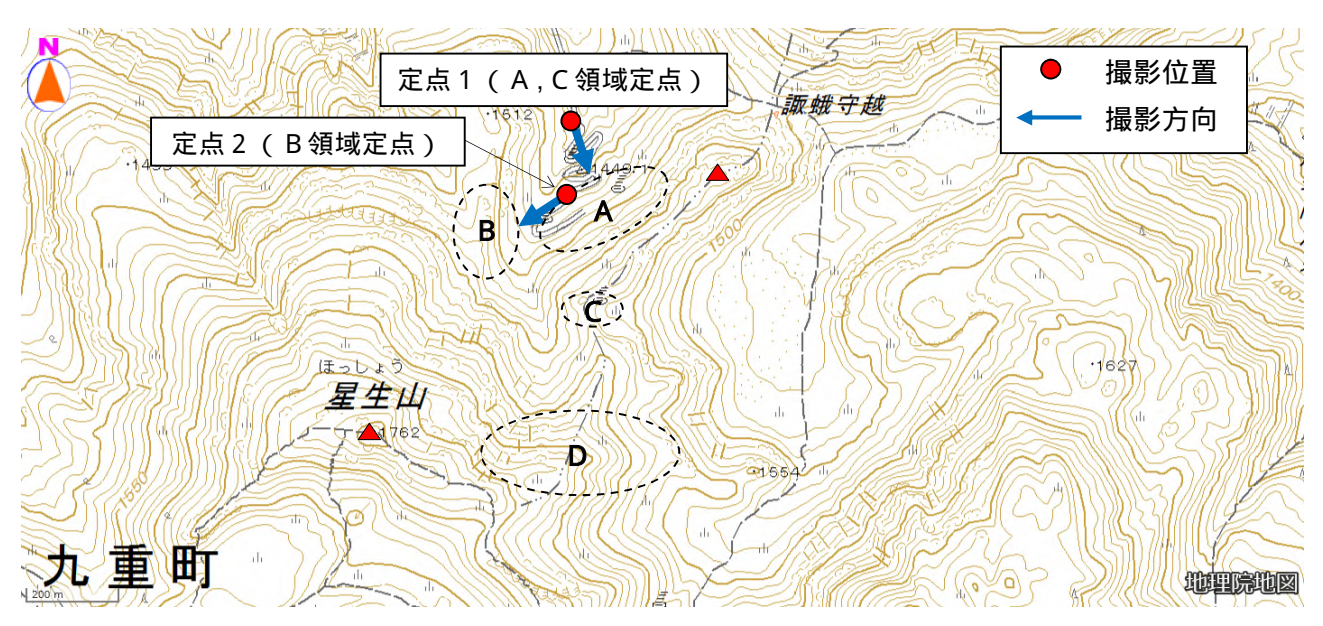


図 4-2 九重山 震源分布図(広域)(2010年1月~2018年7月)

< 7月の状況>

震源は、星生山付近のほか、星生山の西側2~5km付近の深さ約2~6kmに分布しました。



- 5 -

図5 九重山 図6の撮影位置と撮影方向

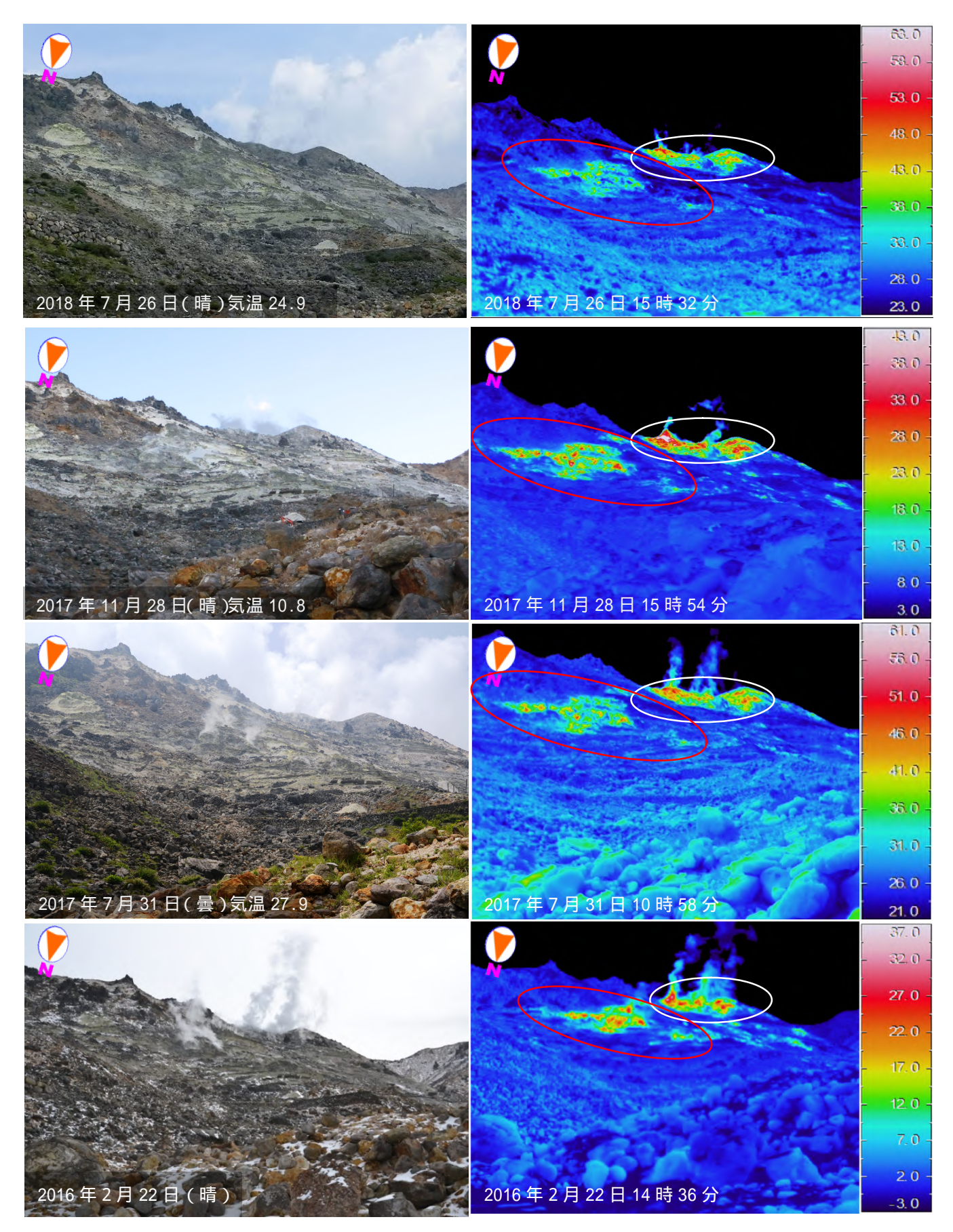


図 6-1 九重山 噴気地帯 A 領域、 C 領域の状況 (定点 1) A 領域 (赤丸) および C 領域 (白丸) では、噴気と熱異常域に特段の変化は認められませんでした。 2018 年 7 月 26 日および 2017 年 7 月 31 日は、日射の影響により熱異常域以外でも温度の高い部分がみられます。

- 6 - 九重山

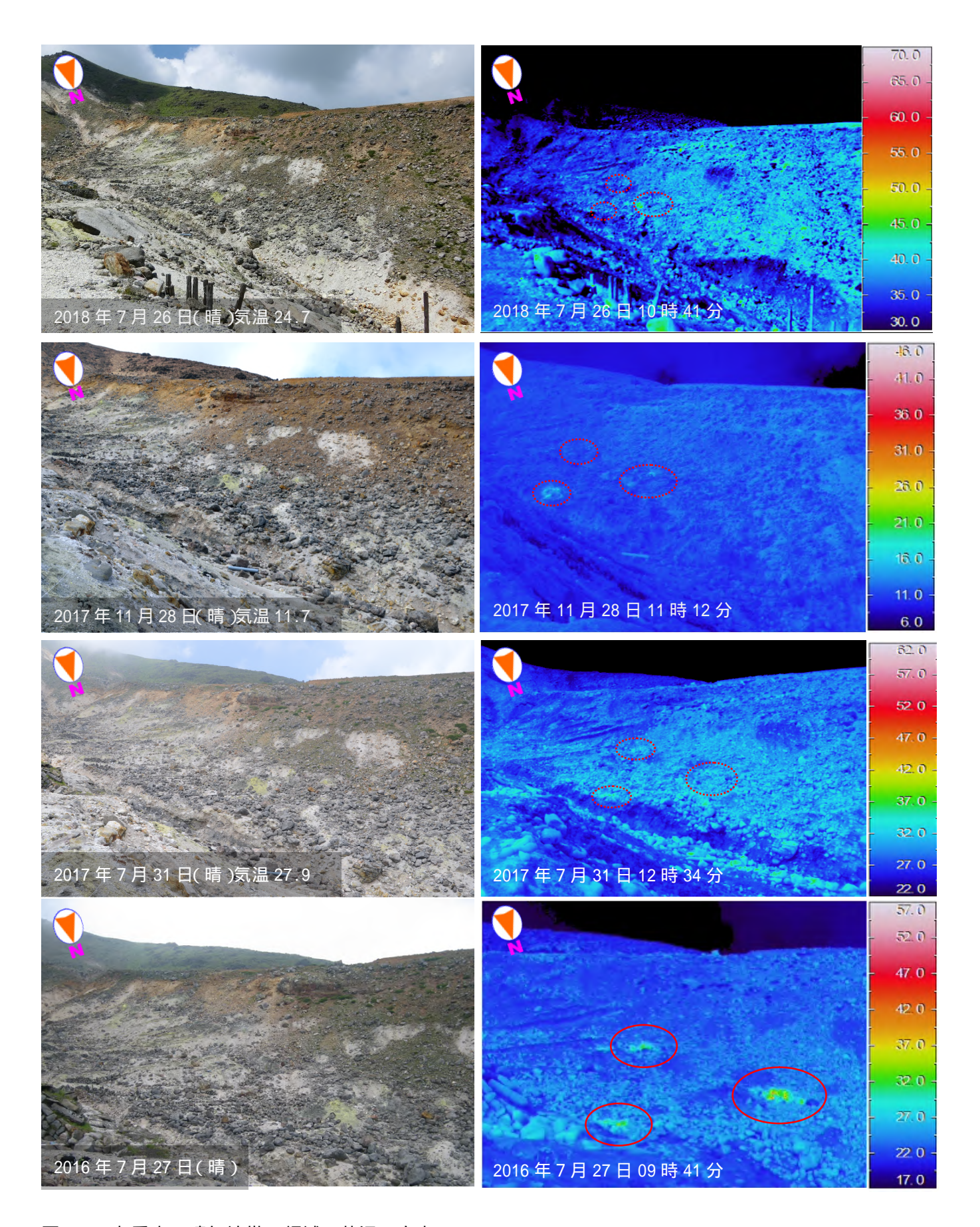


図 6-2 九重山 噴気地帯 B 領域の状況 (定点 2)

B 領域では熱異常域(赤丸)が次第に縮小し、2017年以降赤外熱映像装置での判別が難しい状況です。 2018年7月26日および2017年7月31日は、日射の影響により熱異常域以外でも温度の高い部分がみられます。

- 7 - 九重山

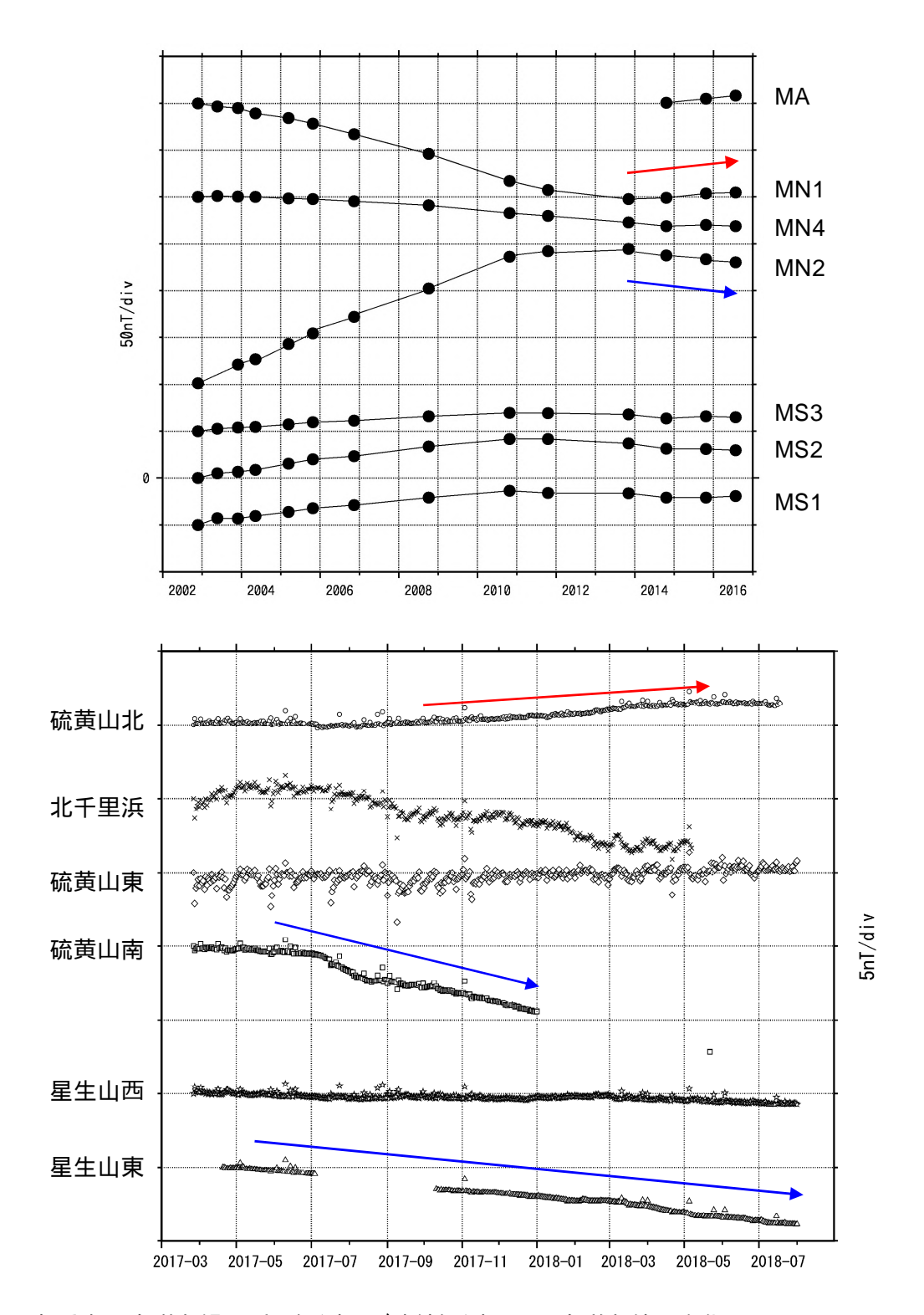


図7 九重山 全磁力繰り返し観測及び連続観測による全磁力値の変化

(上:繰り返し観測(2002年~2016年)、下:連続観測(2017年3月~2018年8月1日))

- ・繰り返し観測では、2014年以降、噴気孔群北側の観測点(MN1)で全磁力値が増加傾向(赤矢印)、 噴気孔群南側の観測点(MN2)で減少傾向(青矢印)に転じています。
- ・連続観測では、噴気孔群北側の観測点(硫黄山北)で2017年10月頃より全磁力値が増加傾向(赤矢印)、噴気孔群南側の観測点(硫黄山南及び星生山東)で2017年5月頃より減少傾向(青矢印)がみられます。
- ・これらのデータから、2014年以降、星生山北東側山腹の噴気孔群地下で温度上昇を示唆する変化(熱消磁)がみられています。

繰り返し観測:星生山南西約 20km の全磁力値を基準とした場合の各観測点における全磁力変動連続観測:星生山南東約 4 km の全磁力値を基準とした場合の各観測点における全磁力日平均値連続観測の各観測点における空白部分は欠測を示しています。

- 8 -

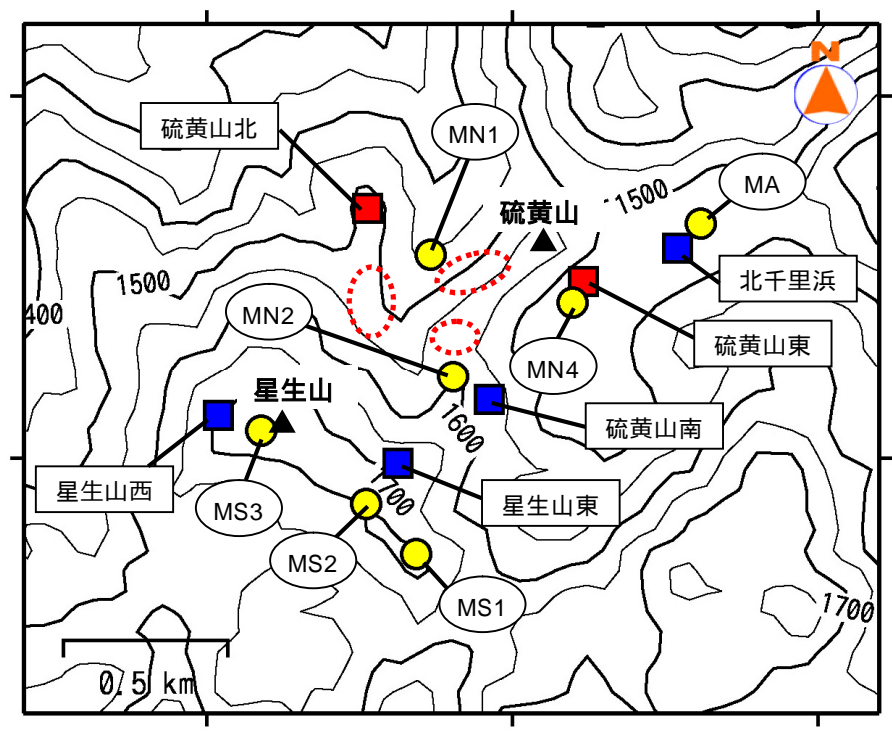


図8 九重山 全磁力観測点配置図

は繰り返し観測点、 (全磁力値が増加傾向) (全磁力値が減少傾向)は連続観測点を示します。 赤破線で囲まれる領域は星生山北東側山腹の噴気孔群の位置を示します。

【参考】全磁力観測について

火山活動が静穏なときの火山体は地球の磁場(地磁気)の方向と同じ向きに磁化されています。これは、火山を構成する岩石には磁化しやすい鉱物が含まれており、マグマや火山ガス等に熱せられていた山体が冷えていく過程で、地磁気の方向に帯磁するためです。しかし、火山活動の活発化に伴い、マグマが地表へ近づくなどの原因で火山体内の温度が上昇するにつれて、周辺の岩石が磁力を失うようになります。これを「熱消磁」と言います。そして地下で熱消磁が発生すると、地表で観測される磁場の強さ(全磁力)が変化します。これらのことから、全磁力観測により火山体内部の温度の様子を知る手がかりを得ることができます。

例えば、山頂直下で熱消磁が起きたとすると、火口の南側では全磁力の減少、火口北側では逆に全磁力の増大が観測されます。この変化は、熱消磁された部分に地磁気と逆向きの磁化が生じたと考えることで説明できます。山頂部で観測した全磁力の値は、南側Aでは地磁気と逆向きの磁力線に弱められて小さく、北側Bでは強められて大きくなることがわかります。

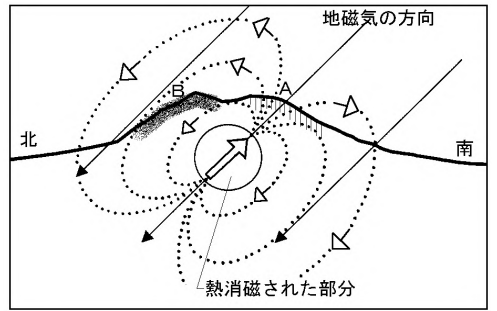


図 9 熱消磁に伴う全磁力変化のモデル

火山体周辺の全磁力変化と火山体内部の温度

- 9 -

北側の観測点で全磁力増加 南側の観測点で全磁力減少

北側の観測点で全磁力減少 南側の観測点で全磁力増加 [消磁]

火山体内部の温度上昇を示唆する変化

[帯磁]

火山体内部の温度低下を示唆する変化

九重山

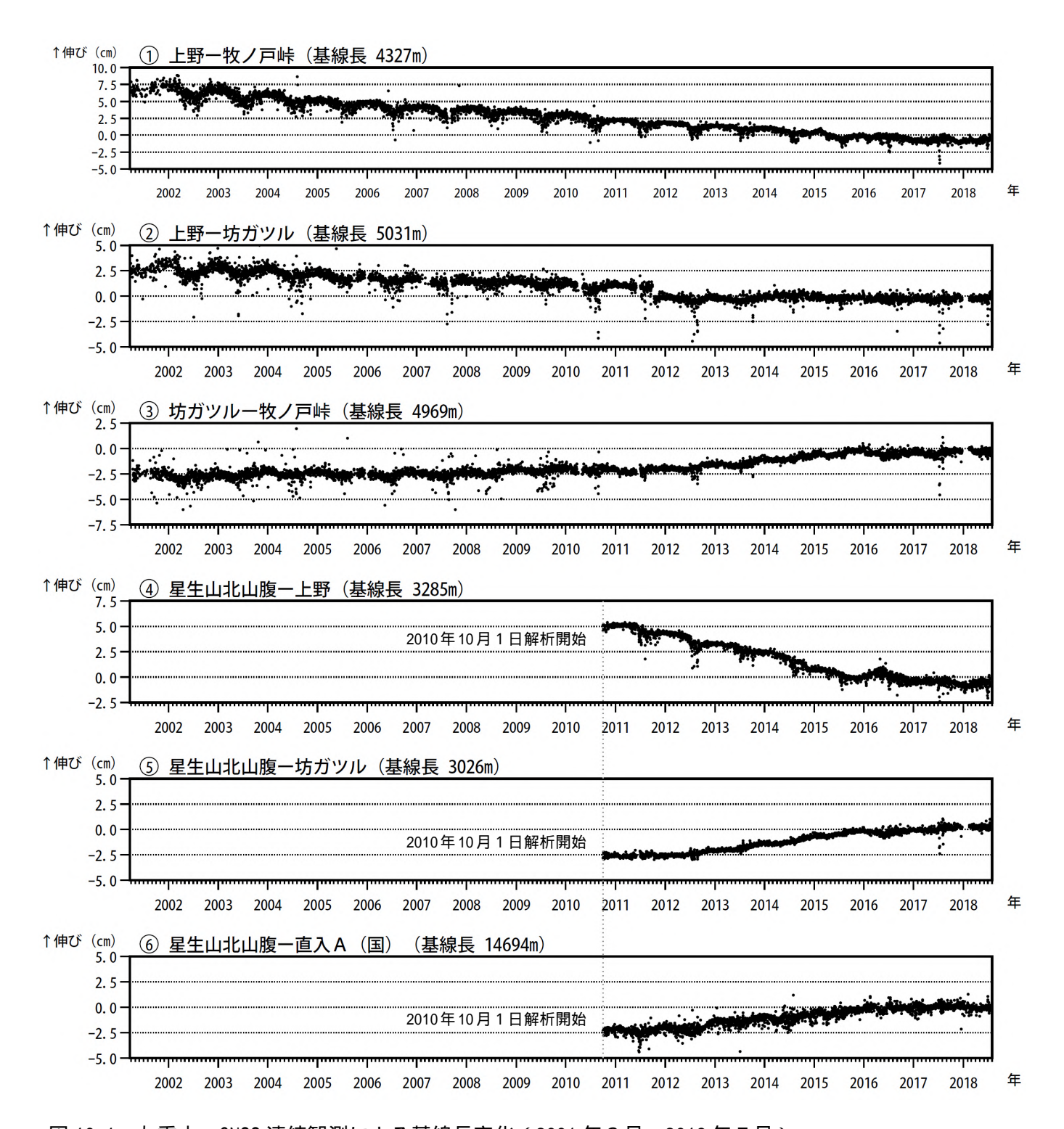


図 10-1 九重山 GNSS 連続観測による基線長変化(2001年3月~2018年7月)

GNSS連続観測では、 坊ガツル・牧ノ戸峠、 星生山北山腹・坊ガツル、 星生山北山腹・直入Aの基線で、2012 年頃から伸びの傾向、 星生山北山腹・上野の基線で縮みの傾向が認められていましたが、2015 年頃から停滞しています。

これらの基線は図 11 の ~ に対応しています。

基線の空白部分は欠側を示しています。

2010年10月以降のデータについては、電離層の影響を補正する等、解析方法を改良しています。

2016年1月以降のデータについては、解析方法を変更しています。

2016年4月16日以降の基線長は、平成28年(2016年)熊本地震の影響による変動が大きかったため、

この地震に伴うステップを補正しています。

(国): 国土地理院

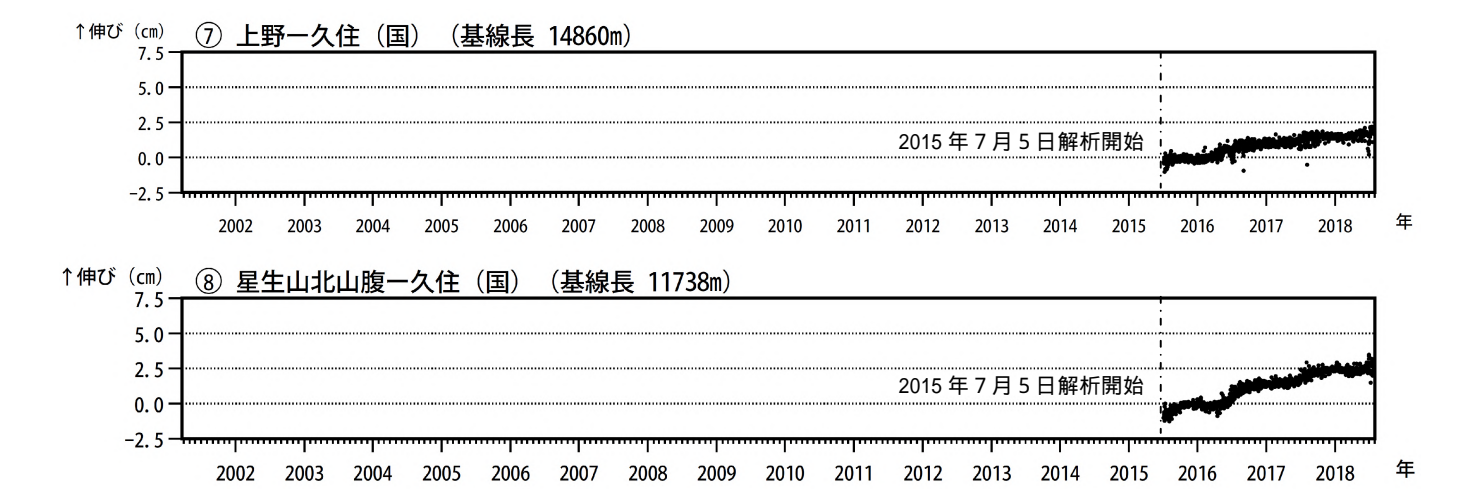


図 10-2 九重山 GNSS 連続観測による基線長変化 (2001 年 3 月 ~ 2018 年 7 月)

GNSS連続観測では、 上野 - 久住、 星生山北山腹 - 久住の基線で伸びの傾向が認められています。 これは、久住が相対的に南西方向へ移動している影響によるものです。

これらの基線は図11の , に対応しています。

2016年1月以降のデータについては、解析方法を変更しています。

2016年4月16日以降の基線長は、平成28年(2016年)熊本地震の影響による変動が大きかったため、

この地震に伴うステップを補正しています。

(国): 国土地理院

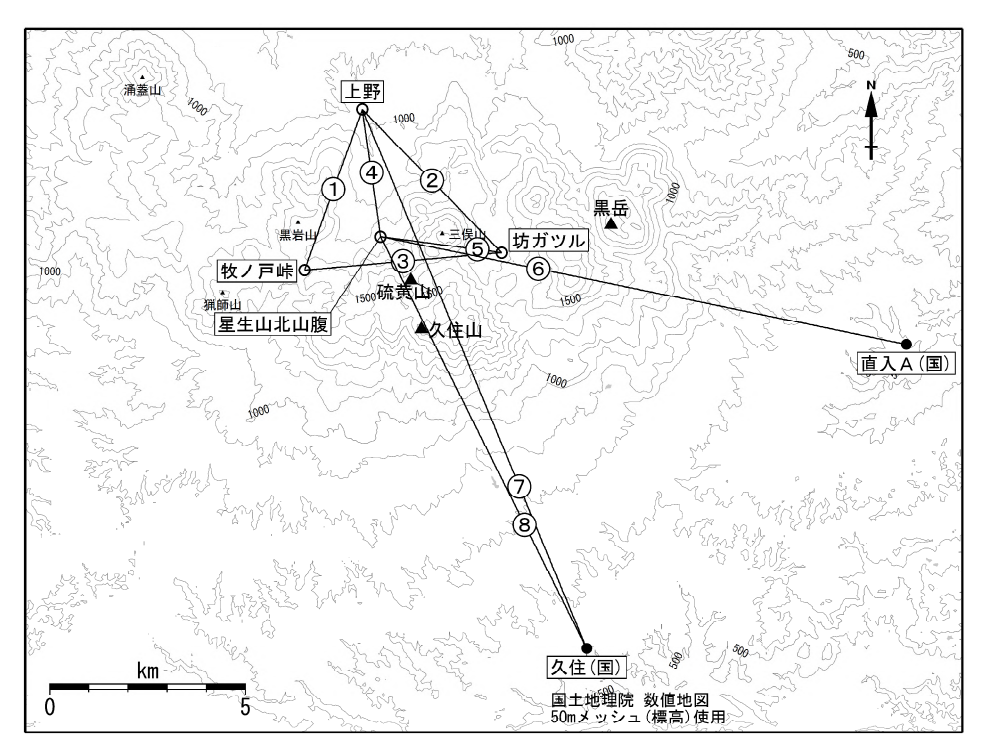


図 11 九重山 GNSS 連続観測点と基線番号

小さな白丸()は気象庁、小さな黒丸()は気象庁以外の機関の観測点位置を示しています。 (国): 国土地理院

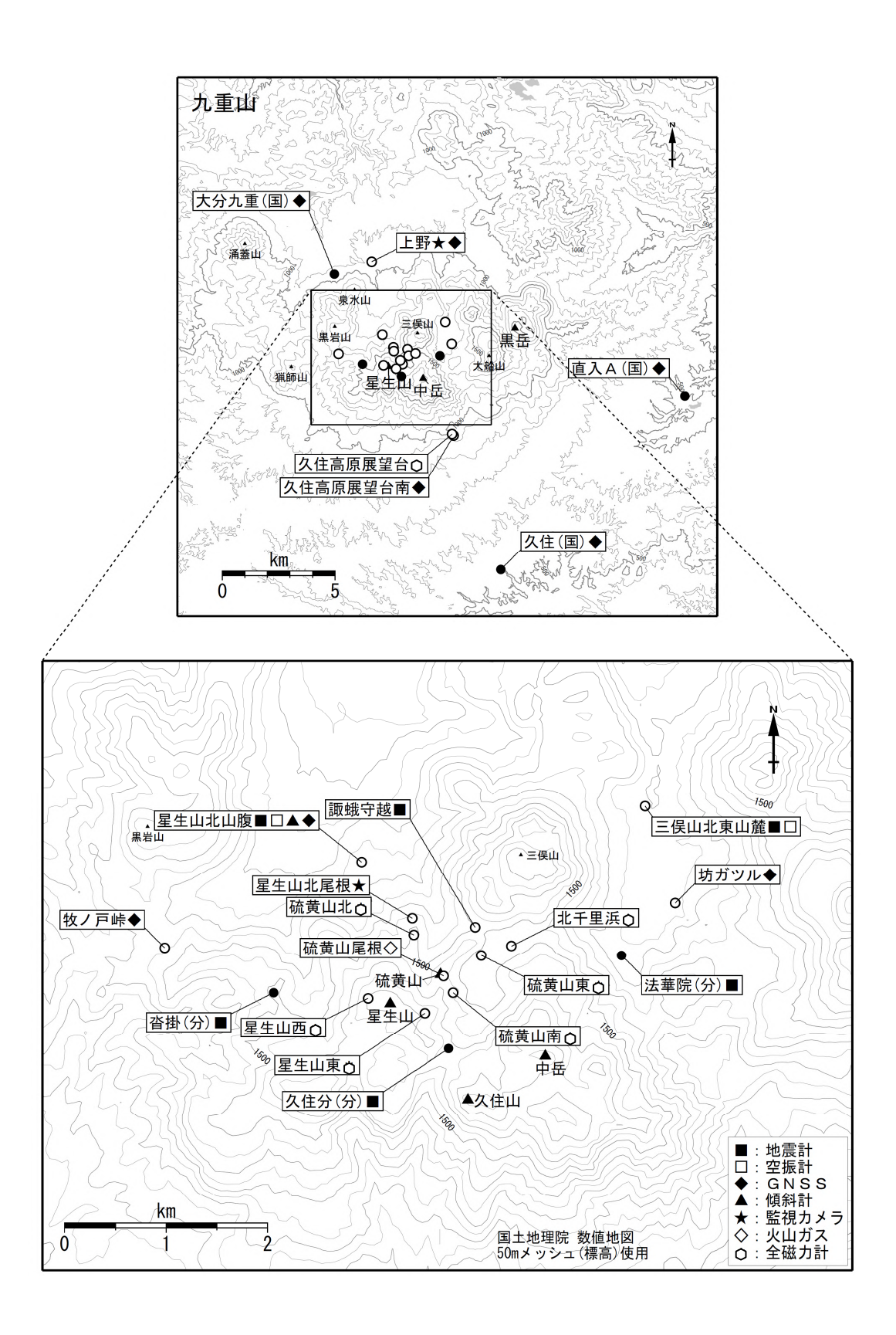


図 12 九重山 観測点配置図

小さな白丸 () は気象庁、小さな黒丸 () は気象庁以外の機関の観測点位置を示しています。 (国): 国土地理院、(分): 大分県